

COMPARACION ESTADÍSTICA DE ACCIONES EN COMPLEJOS CÚBICOS $CAT(0)$

Eduardo Reyes
Instituto Max Planck de Matemática

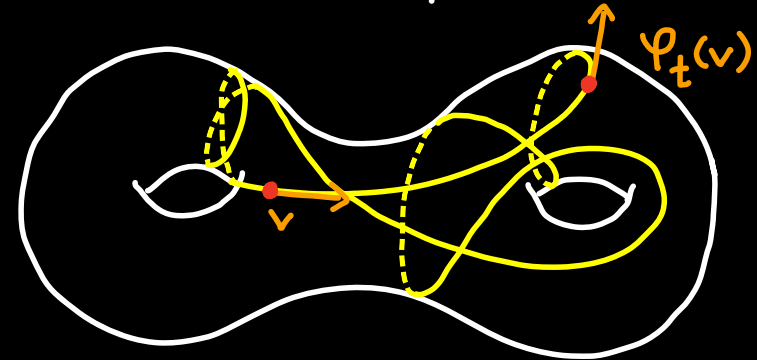
Encuentro SOMACHI
19 de Diciembre
2023

MOTIVACIÓN

(M, g) : variedad cerrada de curvatura negativa

$$\Gamma = \pi_1(M)$$

- **FLUJO GEODÉSICO**: $\varphi_t = \varphi_t^g: T^1M \curvearrowright$
Anosov!!!



$[\Gamma]$
ii
Clases de conjugación
primitivas en Γ



Geodésicas cerradas
orientadas en M_g



Órbitas periódicas en
flujo geodésico

$[g]$

γ_g

μ_g

(medida invariante
de soporte γ_g)

- **FUNCIÓN DE LONGITUD**: $l_g: [\Gamma] \rightarrow \mathbb{R}$

$[g] \mapsto$ largo de γ_g en M_g

FILOSOFÍA: COMPARAR DOS MÉTRICAS g, g_* EN M MEDIANTE
SUS FUNCIONES DE LONGITUD l_g, l_{g_*}

COMPARACIÓN DINÁMICA

\exists homeomorfismo $\Phi: T^1M_g \rightarrow T^1M_{g^*}$ + reparametrización Hölder
 que manda órbitas en órbitas $\beta: T^1M_g \rightarrow \mathbb{R}$

$$[g] \in \Gamma \Rightarrow \int \beta d\mu_g = \frac{\ell_{g^*}[g]}{\ell_g[g]}$$

CONSECUENCIAS

$\int \beta d\mu_g = J(g^*, g) = \lim_{T \rightarrow \infty} \frac{1}{\#\{\ell_g \leq T\}} \sum_{\ell_g \leq T} \frac{\ell_{g^*}[g]}{\ell_g[g]} \geq \underbrace{V_g / V_{g^*}}_{\text{Entropías de volumen}}$

$\int \beta d\mu_g$ medida de máxima entropía

$J(g^*, g) = V_g / V_{g^*} \iff \ell_{g^*}[g] = \frac{V_g}{V_{g^*}} \ell_g[g] \forall [g] \iff M_g, M_{g^*}$

homotéticas

$\textcircled{*}$ + Creer en rigidez de espectro de longitud marcado

$\therefore J(g^*, g) V_{g^*} / V_g$ mide diferencia entre g y g^*

OBJETIVO: COMPARACIÓN SIMILAR PARA COMPLEJOS CÚBICOS $CAT(0)$

[conjunto con STEPHEN CANTRELL (Warwick)]

TRABAJO RELACIONADO

BURGER '93: Pares de rep. **geométricamente finitas** (Curvas de Manhattan)
 $\rho, \rho_*: \Gamma \rightarrow SO^+(n, 1) = \text{Isom}^+(\mathbb{H}^n)$

SHARP '10: Pares de Grafos

CALEGARI-FUJIWARA '10: Pares de métricas de la palabra
en **grupos hiperbólicos**

KAO '20: Rep. **quasi-Fuchsianas** vs Métricas Riemannianas en superficies

BRAY-CANARY-KAO '20: Pares de rep. **quasi-Fuchsianas**
 $\rho, \rho_*: \Gamma \rightarrow \text{PSL}_2\mathbb{C}$

CANTRELL-TANAKA '21: Pares de métricas hiperbólicas
en grupos hiperbólicos

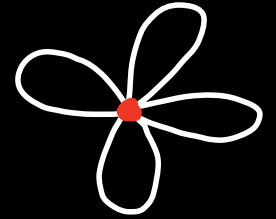
BRAY-CANARY-KAO-MARTONE '21: Pares de rep. **Hitchin**
 $\rho, \rho_*: \Gamma \rightarrow \text{PSL}_d(\mathbb{R})$

OBSERVACIÓN: Γ siempre es (relativamente) hiperbólico

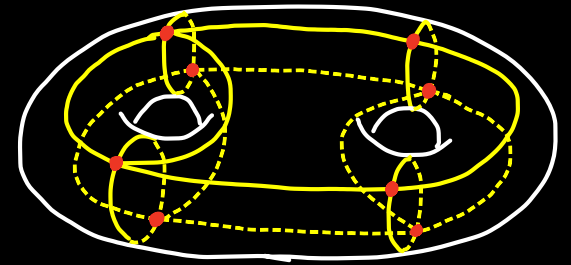
COMPLEJOS CÚBICOS NPC

- \mathcal{X} :
- Complejo Poliedral, pegar cubos a través de (sub) caras
 - **NPC**: Versión combinatorial de curvatura no positiva
 - **CAT(0)**: NPC + $\pi_1 = \{1\}$

EJEMPLO: Grafos son NPC, árboles son CAT(0)



EJEMPLO: Superficies hiperbólicas cerradas homeomorfas a c.c. NPC



TEOREMA (KAHN-MARKOVIC '12, BERGERON-WISE '11):

M^3 3-variedad cerrada hiperbólica $\Rightarrow M \underset{\text{h.e.}}{\sim} \mathcal{X}$ c.c. NPC compacto

(Herramienta: Flujo en fibrado de framings es exponencialmente mixing)

EJEMPLO: Productos de c.c. NPC son NPC

\mathcal{X} c.c. NPC compacto $\iff \Gamma = \pi_1(\mathcal{X}) \curvearrowright \tilde{\mathcal{X}}$ c.c. CAT(0) Libre + cocompacta

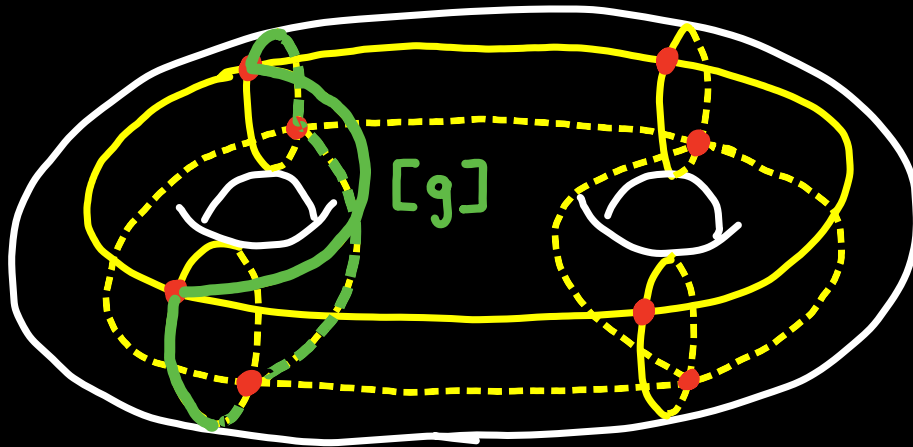
GEOMETRIA DE C.C. NPC

Distancia combinatorial en $\mathcal{X}^{(1)}$ (grafo)

\mathcal{X} : Complejo cúbico NPC compacto $\Gamma = \pi_1(\mathcal{X})$

• **FUNCIÓN DE LONGITUD:** $l_{\mathcal{X}}: [\Gamma] \rightarrow \mathbb{R}$

$[g] \mapsto$ mínimo largo combinatorial de curva en clase de $[g]$



$$l_{\mathcal{X}}[g] = 4$$

PELIGRO: geodésicas no son únicas

CONTEXTO: $\mathcal{X}, \mathcal{X}_*$ c.c. NPC compactos, $\Gamma = \pi_1(\mathcal{X}) \cong \pi_1(\mathcal{X}_*)$

QUEREMOS COMPARAR $l_{\mathcal{X}}, l_{\mathcal{X}_*}: [\Gamma] \rightarrow \mathbb{Z}$

RESULTADO PRINCIPAL

TEOREMA (CANTRELL-R. '23): Γ "estadísticamente hiperbólico"

+ $\mathcal{X}, \mathcal{X}_*$ c.c. NPC compactos "compatibles" + $\Gamma \xrightarrow{\sim} \pi_1(\mathcal{X}), \pi_1(\mathcal{X}_*)$ isomorfismos

Entonces:

1) \exists cubrimiento finito $\hat{\mathcal{X}} \rightarrow \mathcal{X}$

2) \exists autómata finito

$$\mathcal{A} = \left\{ \mathcal{G} = (V, E, \mathbf{I}), S_{\hat{\mathcal{X}}}, \pi \right\}$$

\uparrow grafo dirigido finito \uparrow alfabeto: hiperplanos de $\hat{\mathcal{X}}$
 \downarrow estados iniciales \downarrow etiquetado $\pi: E \rightarrow S_{\hat{\mathcal{X}}}$

3) \exists potencial $\beta: E \rightarrow \mathbb{Z}$

tq

$$\begin{array}{ccc} \text{Camino en } \mathcal{G} & \longleftrightarrow & \text{Geodésica en } \hat{\mathcal{X}} \\ \omega = (v_0 \xrightarrow{e_1} v_1 \rightarrow \dots \xrightarrow{e_n} v_n) & & (x_0 \xrightarrow{\pi(e_1)} x_1 \rightarrow \dots \xrightarrow{\pi(e_n)} x_n) \\ v_0 = v_n & \longleftrightarrow & x_0 = x_n (\rightsquigarrow [g_\omega] \in [\pi_1(\hat{\mathcal{X}})]) \end{array}$$

$$\beta(e_1) + \dots + \beta(e_n) = \ell_{\hat{\mathcal{X}}_*} [g_\omega]$$

"Flujo geodésico": Shift de Markov asociado a \mathcal{G}

APLICACIONES

EJEMPLO: Γ hiperbólico \Rightarrow Compatibilidad automática (Agol '13)

RIGIDEZ:

$$1) J(\chi_*, \chi) := \lim_{T \rightarrow \infty} \frac{1}{\#\{\ell_{\chi} \leq T\}} \sum_{\ell_{\chi} \leq T} \frac{\ell_{\chi_*}[g]}{\ell_{\chi}[g]} \geq \nu_{\chi} / \nu_{\chi_*} \quad \text{Beyrer-Fioravanti '21}$$

$$2) J(\chi_*, \chi) = \nu_{\chi} / \nu_{\chi_*} \iff \ell_{\chi_*}[g] = \frac{\nu_{\chi}}{\nu_{\chi_*}} \ell_{\chi}[g] \quad \forall [g] \iff \chi, \chi_* \text{ "homotéticos"}$$

LARGOS DESVÍOS CON SHRINKING: (+Marcus-Tuncel '90)

$$a_- := \inf_{[g]} \frac{\ell_{\chi_*}[g]}{\ell_{\chi}[g]} \quad a_+ := \sup_{[g]} \frac{\ell_{\chi_*}[g]}{\ell_{\chi}[g]}$$

$\Rightarrow \exists \mathcal{I}: [a_-, a_+] \rightarrow \mathbb{R}$ analítica y $C > 0$ tq si $\eta \in (a_-, a_+)$:

$$\mathcal{I}(\eta) = \limsup_{T \rightarrow \infty} \frac{1}{T} \log \left(\#\left\{ [g] \mid \ell_{\chi}[g] < T, |\ell_{\chi_*}[g] - \eta \ell_{\chi}[g]| \leq \frac{C}{T} \right\} \right) > 0$$

Gracias!!!